

## ستنتر، شناسایی و بررسی رفتارهای حلال رنگی کمپلکس‌های جدید اکسووانادیم

### مشتق شده از لیگاندهای شیف باز

ابوالفضل بضاعت پور

اردبیل-دانشگاه محقق اردبیلی-گروه شیمی

تاریخ پذیرش: ۸۷/۷/۸

تاریخ دریافت: ۸۷/۲/۱۰

#### چکیده

در این کار پژوهشی ستنتر، شناسایی و بررسی رفتارهای حلال رنگی کمپلکس‌های جدید شیف بازهای چهار دندانه ای نوع  $N_4$  اکسووانادیم (IV) مشتق شده از تراکم ۱،۲-اتیلن دی آمین، مزو-۲،۱-دی فنیل-۲،۱-اتیلن دی آمین و ۱،۳-پروپان دی آمین با ۲-پیریدین کربالداید می باشد. کلیه لیگاندهای  $L^1$ ،  $L^2$  و  $L^3$  و کلیه کمپلکس‌های  $VOL^1$ ،  $VOL^2$  و  $VOL^3$  طبق روش‌های معمول و شناخته شده در منابع ستنتر شدنده و با تکنیکهای  $IR$ ،  $UV-Vis$  و  $^{1}HNMR$  شناسایی شدند. و محدوده باند کششی گروه ( $V=O$ ) برای کمپلکس‌های جدید  $VOL^1$  و  $VOL^2$  در محدوده  $980-960\text{ cm}^{-1}$  قرار گرفت که نشان دهنده ساختارهای مونومری برای این کمپلکسها بود. کمپلکس‌های  $VOL^1$ ،  $VOL^2$  و  $VOL^3$  در محدوده وسیعی از حل‌ها حل می‌شوند و رفتار حلال رنگی از خود نشان می‌دادند. عدد موجی انتقال  $(I)\rightarrow^{2}E(II)$  یک ارتباط خطی با عدد دهنگی حلال نشان می‌داد.

**کلید واژه ها:** کمپلکس‌های شیف باز، کمپلکس‌های وانادیل، حلال رنگی، لیگاندهای چهار دندانه ای نوع  $N_4$

#### مقدمه

عناصر واسطه می‌تواند کاندیداهای خوبی برای بررسی پدیده حلال رنگی باشند و این بیشتر به وجود و ماهیت اوربیتالهای  $d$  موجود در این ترکیبات بر می‌گردد. در حالت کلی برای ترکیبات کوئوردیناسیون دو نوع حلال رنگ قابل توجه است. یون وانادیل،  $VO^{2+}$  یک اکسی کاتیون شناخته شده در بین عناصر واسطه است. این گونه تنها یک الکترون منفرد در اوربیتالهای  $3d$  خود دارد و وجود یک مکان کوئوردیناسیون خالی در موقعیت ترانس گروه  $O$  آرا برای مطالعه ساختاری و تأثیرات گروههای مختلفی از قبیل آنیونها و حلال مورد توجه پژوهشگران قرار داده

سنتر، شناسایی و بررسی رفتارهای حلال رنگی کمپلکسهاي جدید ...

است<sup>۱۵</sup>. در نتیجه می توان مطالعات تئوری میدان بلور و تئوری اوربیتال مولکولی را روی اینگونه از ترکیبات براحتی مورد بررسی قرار داد. مطالعات فراوانی روی تأثیر حلال در ساختار الکترونی مرکز وانادیل انجام شده است. عنوان مثال مطالعاتی در زمینه تغییرات طیفهای EPR و طیفهای الکترونی وانادیل استونات در حلالهای متفاوت انجام شده است<sup>۶,۸</sup>. موقعیت ششم ترانس نسبت به اکسیژن گروه وانادیل، مستعد برهم کنش با مولکولهای حلالهای با عدد دهنگی متفاوت می باشد. از اینرو تغییر در نوع حلال می تواند موقعیت محوری کمپلکسهاي وانادیل را از نظر ترازهای انرژی اوربیتالی دستخوش تغییرات جدی کند<sup>۹,۱۲</sup>. این تغییرات می توانند الگوی طیف جذبی را تغییر داده و باعث تغییر رنگ در اثر تغییر حل شوند این تغییرات را می توان با استفاده از دیاگرام اوربیتال (مولکولی یون وانادیل که توسط بالهاؤزن (Ballhausen) و گری (Gray) ارائه شده است مورد تحلیل قرار داد<sup>۱۳,۱۵</sup>. جدید شیف باز اکسو وانادیم(IV) و بررسی فعالیت های رفتار حلال رنگی با در نظر گرفتن ویژگیهای فضایی و الکترونی لیگاندهای شیف باز است. لیگاندها و کمپلکسهاي وانادیم که در این مطالعه ارایه شده است همه جدید و برای اولین بار گزارش می شوند. در بخش بررسی رفتار حلال رنگی این ترکیبات در حضور حلالهای مختلفی با عدد دهنگی(DN) متفاوت نظیر دی کلرو متان، استون، استونیتریل، دی متیل فرمامید، دی متیل سولفوکسید و تتراهیدروفوران و با استفاده از تکنیک اسپکتروسکوپی الکترونی مورد بحث و بررسی قرار می گیرد که می تواند جزو یک رفتار هوشمند و Smart بشمار آید.

### کارهای آزمایشگاهی

طیف های هیدروژن NMR با حلالهای  $\text{CD}_3\text{SOCD}_3$  و  $\text{CDCl}_3$  با دستگاه 500 MHz Bruker FT-IR با دستگاه Unicam Matson 1000 FT-IR ، نقطه ذوب با دستگاه NMR UV- Visible Spectrophotometer BUCHI Metting Point B - 540 و طیف الکترونی با دستگاه CARY 100 Bio اندازه گیری شدند. ۱،۲ - مزو- دی فنیل اتیلن دی آمین به صورت خالص و بلوری در آزمایشگاه سنتر شد. ۱،۲ - پیریدین کربالدهید، ۱،۳ - دی آمینو پروپان، ۱،۲ - اتیلن دی آمین و ۱،۲ - فنیلن دی آمین از منابع فلوکا و مرک خریداری شدند. حلالهای اتانول، متانول، استونیتریل، دی اتیل اتر ، پترولیوم اتر، کلروفرم، تترا هیدروفوران، و استون قبل از استفاده خالص سازی شدند و حلالهای دی متیل فرمامید و دی متیل سولفوکسید به همان شکل خالصی که در آزمایشگاه وجود داشت استفاده شد. وانادیل استونات<sub>2</sub> VO(acac)<sub>2</sub> توسط روش ارائه شده در منابع در آزمایشگاه به صورت بلوری و خالص تهیه شد. ترکیب وانادیل پرکلرات در آزمایشگاه سنتر شد.

### سنتز لیگاندهای (L<sup>x</sup> x=1,2,3)

بطور کلی شیف بازهایی که در این مطالعات مورد بررسی قرار گرفت به صورت متقارن انتخاب شدند. در حالت کلی شیف بازها از طریق واکنش تراکم آلدوی گروه عاملی آمین نوع اول (NH<sub>2</sub>) و ۲-پیریدین کربالدهید تهیه می شوند.

#### سنتز لیگاند L<sup>1</sup>

به ۲/۰ میلی مول (g ۰/۹۳) ۲-پیریدین کربالدهید حل شده در ۴۰ میلی لیتر حلال اتانول که در حال هم زدن بود مقدار ۱/۰ میلی مول اتیلن دیآمین که در ۱۵ میلی لیتر حلال اتانول حل شده بود به صورت قطره قطره اضافه شد. رنگ محلول به صورت زرد متمایل به قهوه ای تغییر کرد بعد از ۴۵ دقیقه بازروانی حلال واکنش توسط روتاری خارج شد و به مدت ۲ روز در جای خنک قرار داده شد کریستالهای قهوهای ایجاد شد سپس رسوب به دست آمده تبلور مجدد شده و صاف و توسط اتانول شستشو داده شد و در معرض هوا خشک شد. بازده واکنش (۰/۲۲ g و ۸۶٪) به دست آمد<sup>1</sup> L با فرمول مولکولی C<sub>14</sub>H<sub>14</sub>N<sub>4</sub> F.W. = ۲۵۸ g/mol داده های طیفی انتخاب شده IR بر حسب δ ppm از قرص KBr: 1615(C=N), 3444(OH) cm<sup>-1</sup> جابجایی شیمیایی پروتون (HNMR) در از قرص CDCl<sub>3</sub> حلal (شکل ۱) 8.3(s, 2H, CH=N), 6.8-7.8(m, 8H, aromatic), 4.2(s, 4H, CH<sub>2</sub>) : CDCl<sub>3</sub> حلal (شکل ۱)

#### سنتز لیگاند L<sup>2</sup>

به ۲/۰ میلی مول (g ۰/۹۳) ۲-پیریدین کربالدهید حل شده در حلال اتانول (۴۰ میلی لیتر) که در حال هم زدن بود مقدار ۱/۰ میلی مول (۰/۲۱۲ گرم) مزواستیلین دی آمین که در ۲۰ میلی لیتر حلال اتانول حل شده بود به صورت قطره قطره اضافه شد. رنگ محلول به صورت زرد روشن تغییر کرد بعد از ۷۵ دقیقه بازروانی، رسوبهای بلوریزد رنگ ایجاد شده صاف و توسط اتانول شستشو داده شد و در معرض هوا خشک شد. بازده واکنش (۰/۲۸۵ g و ۷۳٪) به دست آمد<sup>2</sup> L با فرمول مولکولی C<sub>26</sub>H<sub>22</sub>N<sub>4</sub> F.W. = ۳۹۰ g/mol داده های طیفی انتخاب شده IR بر حسب δ ppm از قرص KBr: 1630(C=N), 3454(OH) cm<sup>-1</sup> جابجایی شیمیایی پروتون (HNMR) در از قرص CDCl<sub>3</sub> حلal (شکل ۱) 8.1(s, 2H, CH=N), 6.9-7.8(m, 18H, aromatic), 4.6(s, 2H, CH<sub>2</sub>): CDCl<sub>3</sub> حلal (شکل ۱)

#### سنتز لیگاند L<sup>3</sup>

به ۲/۰ میلی مول (g ۰/۹۳) ۲-پیریدین کربالدهید حل شده در حلال اتانول (۳۰ میلی لیتر) که در حال هم زدن بود مقدار ۱ میلی مول (g ۰/۱۵۸) ۱,۳-دی آمینو پروپان که در ۲۰ میلی لیتر حلال اتانول حل شده بود به صورت قطره قطره اضافه شد. رنگ محلول به صورت زرد روشن تغییر کرد بعد از ۶۰ دقیقه بازروانی، حجم حلال تحت خلا تا ۳۰

سنتر، شناسایی و بررسی رفتارهای حلال رنگی کمپلکس‌های جدید ...

میلی لیتر کاسته شد و به مدت ۳ روز در جای خنک نگهداری شد سپس رسوب ایجاد شده صاف و توسط اتانول  
شستشو داده شد و در معرض هوا خشک شد. بازده واکنش (۰/۱۸۵ g و ۶۸٪) به دست آمد.  $L^3$  با فرمول مولکولی  
 $C_{15}H_{16}N_4$  F.W. = ۲۷۲ g/mol داده‌های طیفی انتخاب شده IR بر حسب  $cm^{-1}$  از قرص  
 $\delta^{1}H\text{NMR}$ . جابجایی شیمیایی پروتون (CDCl<sub>3</sub>) ppm در حلال 1635(C=N), 3443 (OH):KBr  
8.5(s, 2H, CH=N), 6.7-7.8(m, 8H, aromatic), 4.2(t, 4H,  $\alpha$ -CH<sub>2</sub>), 2.2(m, 2H,  $\beta$ -CH<sub>2</sub>):

(شکل ۱)

### سنتر کمپلکس‌های شیف باز چهار دندانه‌ای $N_4$ و انادیل (3)

مقادیر استوکیومتری از ۲ VO(ClO<sub>4</sub>)<sub>2</sub> در ۴۰-۳۰ میلی لیتر متانول داغ حل شد. سپس به نسبت استوکیومتری از  
لیگاند (۳،۲ و ۱  $X = L^X$ ) به مخلوط واکنش اضافه شد مخلوط واکنش حدود ۲ ساعت در دمای بازروانی متانول هم زده  
شد. با تبخیر حلال در خلاء و تغليظ و پس از سرد کردن مخلوط واکنش در زمانهای مختلف کمپلکس‌های مورد نظر  
تهیه شد.

#### سنتر کمپلکس VOL<sup>1</sup>:

مقدار ۱ میلی مول (۰/۲۵۸ g) لیگاند شیف باز  $L^1$  در داخل ۶۰ میلی لیتر محلول اتانول تهیه شده از ۱ میلی مول  
وانادیل پرکلرات اضافه شد و به مدت ۱۲۰ دقیقه بازروانی شد، حجم مخلوط واکنش توسط خلا تا ۲۰ میلی لیتر  
کاهش یافت و پس از ۶ روز کریستال قهقهه‌ای مایل به سبز تشکیل شده صاف و توسط مقدار اضافی اتانول شستشو  
داده شد و در معرض هوا خشک شد. بازده واکنش ۴۳٪ (۰/۲۳۸ g) بود.  $[VOL^1](ClO_4)_2$  با فرمول مولکولی  
 $C_{14}H_{14}N_4$  F. W. = ۵۵۲ g/mol و  $VO_5Cl \cdot 1.5 H_2O$  از  $cm^{-1}$  بر حسب IR. داده‌های طیفی انتخاب شده UV-Vis در حلال  
قرص KBr: 1606(C=N), 976 (V=O), 1100(ClO<sub>4</sub><sup>-</sup>). در ۷۳۲ nm: DMSD 533 (شکل ۱)

#### سنتر کمپلکس VOL<sup>2</sup>:

مقدار ۱ میلی مول (۰/۳۹۰ g) لیگاند شیف باز  $L^2$  در داخل ۷۰ میلی لیتر محلول اتانول تهیه شده از ۱ میلی مول  
وانادیل پرکلرات اضافه شد و به مدت ۱۰۰ دقیقه بازروانی شد، حجم مخلوط واکنش توسط خلا تا ۲۰ میلی لیتر  
کاهش یافت و پس از ۳ روز کریستال پودری سبز تیره تشکیل شده صاف و توسط مقدار اضافی اتانول شستشو داده

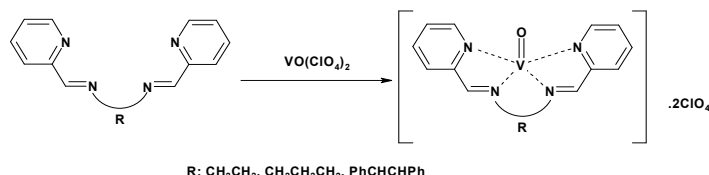
شد و در معرض هوا خشک شد. بازده واکنش  $56\%$  (g<sub>0</sub>/g<sub>2</sub>) با فرمول مولکولی  $\text{VOL}^2(\text{ClO}_4)_2$  بود. داده های طیفی انتخاب شده IR بر حسب cm<sup>-1</sup> از قرص F. W. = 574 g/mol و C<sub>26</sub>H<sub>22</sub>N<sub>4</sub> VO<sub>5</sub>Cl. H<sub>2</sub>O. داده های طیفی انتخاب شده Vis UV- 1615(C=N), 990 (V=O), 1100(ClO<sub>4</sub><sup>-</sup>): KBr بر حسب nm : 757,550 (شکل ۱) DMSD

### سنتز کمپلکس $\text{VOL}^3$ :

مقدار ۱ میلی مول (g<sub>0</sub>/272) لیگاند شیف باز L<sup>3</sup> در داخل ۷۰ میلی لیتر محلول اتانول تهیه شده از ۱ میلی مول وانادیل پرکلرات اضافه شد و به مدت ۱۰۰ دقیقه بازروانی شد، حجم مخلوط واکنش توسط خلا تا ۲۰ میلی لیتر کاهش یافت و پس از ۷ روز کریستال پودری سبز تیره مایل به قهوه ای تشکیل شده صاف و توسط مقدار اضافی اتانول شستشو داده شد و در معرض هوا خشک شد. بازده واکنش  $58\%$  (g<sub>0</sub>/265) بود. داده های طیفی انتخاب شده IR بر حسب cm<sup>-1</sup> از قرص F. W. = 456 g/mol و C<sub>15</sub>H<sub>16</sub>N<sub>4</sub> VO<sub>5</sub>Cl. H<sub>2</sub>O. داده های طیفی انتخاب شده Vis UV- 1619(C=N), 984 (V=O), 1100(ClO<sub>4</sub><sup>-</sup>): KBr در حلal از قرص بر حسب nm : 760,532 (شکل ۱) DMSD

### بررسی رفتار حلال رنگی کمپلکسها شیف باز وانادیل پرکلرات (IV)

رفتار حلال رنگی کمپلکسها شیف باز وانادیل در حلالهای با عدد دهنگی متفاوت بررسی شد حلالهای دی متیل سولفوکسید، دی متیل فرمامید، تترا هیدروفوران، استونیتریل، استون، پیریدین و دی کلرومتان قبل از استفاده خالص سازی شدند. رفتار حلال رنگی کمپلکسها شیف باز وانادیل در دمای محیط و با استفاده از تکنیک اسپکتروسکوپی الکترونی مورد مطالعه قرار گرفت. کمپلکسها شیف باز وانادیل VOL<sup>x</sup> (x = 1- 3) رفتارهای حلال رنگی را در محدوده مختلف از حلال نشان دادند که نتایج آن در جدول ۱ ارائه شده است



شکل ۱: ساختار کمپلکسها VOL<sup>1,2,3</sup>

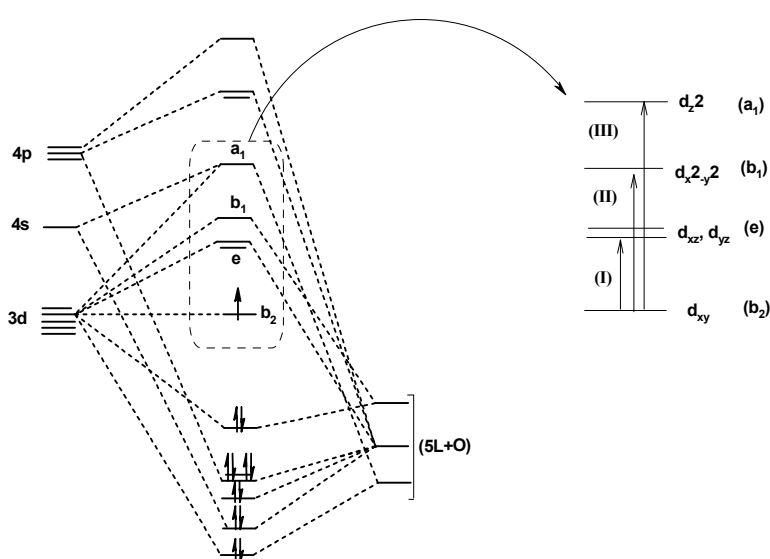
حلال	$\nu \text{ cm}^{-1} (\epsilon_{\text{max}}, \text{l mol-}^{1\text{cm-1}} \text{VOL}^1)$	$\nu \text{ cm}^{-1} (\epsilon_{\text{max}}, \text{l mol-}^{1\text{cm-1}} \text{VOL}^1)$	$\text{cm}^{-1} (\epsilon_{\text{max}}, \text{l mol-}^{1\text{cm-1}} \text{VOL}^1)$
DMSO	13,150 (170) 17,780 (270) 24,301 (5460)	13,170 (140) 17,730 (250) 24,330 (5600)	13,182 (154) 17,660 (301) 24,200 (5725)
DMA	13,400 (250) 18, 211 (390) 23,355 (5739)	13,430 (170) 18,121 (290) 23,055 (5693)	13,440 (163) 17,900 (340) 23,405 (5730)
THF	13,890 (173) 17,650 (407) 24,733 (~5735)	13,985 (150) 17,400 (302) 24,700 (5555)	13,990 (110) 17,500 (299) 24,700 (5700)
Acetone	14,500 (153) 17,550 (436) 24,138 (5049)	14,505 (160) 17,421 (285) 24,630 (5793)	14,510 (180) 17,399 (307) 24,515 (5456)
Acetonitrile	14,200 (202) 17, 241 (290) 24,590 (5777)	14,213 (184), 17,421 (276), 24,509 (~5566)	14,219 (201), 17,389 (289), 24,526 (5566)
DMF	13, 600 (146) 17,469 (520) 24,555 (5560)	13,640 (173), 17,500 (250), 24,600 (5800)	13,645 (180), 17,710 (307), 24,520 (5750)
CH <sub>3</sub> Cl	-	16,700 (390), 24,505 (5777)	16,510 (400), 24,700 (5872)
Py	13, 065 (143) 17,605 (440) 24,230 (5744)	13,080 (316), 17,800 (400), 24,200 (5714)	13,073(300), 17,500 (480), 24,500 (5800)

جدول ۱ داده‌های طیف الکترونی کمپلکسها و انادیل VOL<sup>1,2,3</sup> در حلالهای مختلف

## بحث و نتیجه گیری

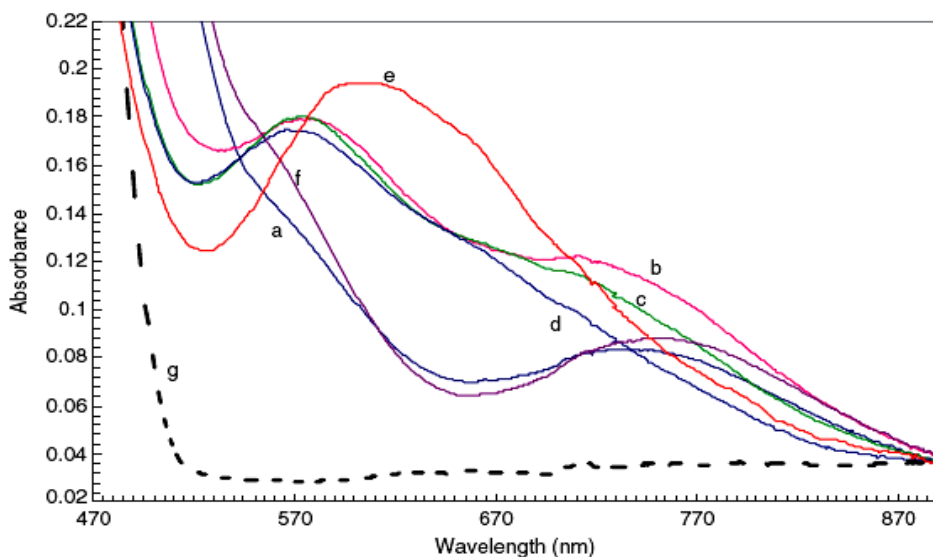
مطالعه رفتار حلال رنگی کمپلکس‌های شیف باز وانادیم(IV) با استفاده از حللهای با عدد دهنگی متفاوت انجام شد.

بطور کلی برای فلز مرکزی وانادیم با آرایش  $d^1$  که در میدان بلوری با تقارن موضعی  $C_{4v}$  یا  $C_{2v}$  قرار دارد سه جهش  $d$ -را میتوان در نظر گرفت که در شکل ۲ نشان داده شده است. اکسیژن و وانادیم سطوح انرژی اوربیتالهای  $d_{xz}$  و  $d_{xy}$  پائین تر خواهد آمد و کاملاً منطقی بنظر می‌رسد که انرژی جهش اول  $\rightarrow^2E \rightarrow^2B_2$  که مربوط به جهش  $d_{yz}$   $d_{xz}$  و  $d_{yz}$  می‌باشد به سمت انرژیهای کمتر و طول موجهای بیشتر جابجا خواهد شد. از جمله عواملی که باعث می‌شود طول پیوند  $O = V$  در ساختار کمپلکس بلندتر شده و بر هم کنش بین وانادیم و اکسیژن کمتر شود کوئوردینه شدن حلال با عدد دهنگی بالا از محل ششم فضای کوئوردیناسیون می‌باشد هر چقدر حلال عدد دهنگی بالاتری داشته باشد براحتی کوئوردینه شده و باعث ازدیاد طول پیوند  $O = V$  می‌شود. بنابراین سطوح انرژی اوربیتالهای  $d_{xz}$  و  $d_{yz}$  به دلیل کاهش بر هم کنش با اوربیتالهای  $p_x$  و  $p_y$  اتم اکسیژن، پائین تر آمده و جهش اول به سمت طول موجهای بلندتر و انرژی کمتر جابجا خواهد شد. در واقع با الگو گرفتن از نظری میدان بلور می‌توان نتیجه گرفت که دور شدن اکسیژن از سمت وانادیم باعث می‌شود که لیگاندهای پیرامون وانادیم با نزدیک شدن به سمت وانادیم برهم کنش شدیدتری با اوربیتالهای  $d_{x^2-y^2}$  داشته باشند هر چند که این برهم کنش ضعیف باشد. بنابراین تراز انرژی اوربیتال  $d_{x^2-y^2}$  اندکی بالاتر رفته و جهش دوم خیلی از موارد با جابجایی کمی به سمت طول موجهای کوچکتر و انرژی بیشتر همراه خواهد بود [۲۰-۱۶].

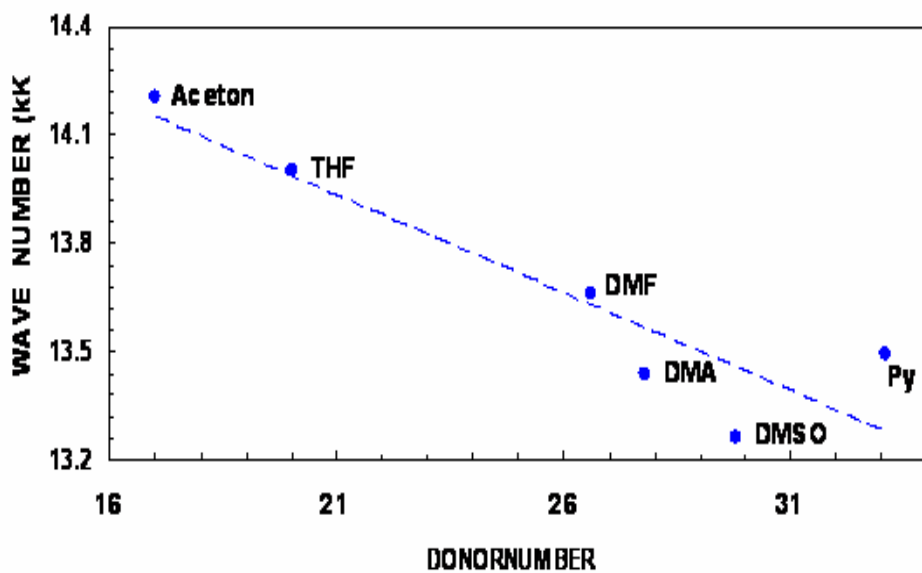


شکل ۲: جهش‌های مربوط به کمپلکس‌های وانادیل با تقارن موضعی  $C_{4v}$

کمپلکس‌های  $\text{VOL}^{1,2 \text{ and } 3}$  در حلال DMSO مطالعات طیف الکترونی وجود سه جهش را نشان می‌داد. این سه ناحیه جذبی به ترتیب مربوط به جذب I، II و III مربوط می‌شد. پیک جذبی کمپلکس  $\text{VOL}^2$  (شکل ۱) مذکور در حلال DMA با عدد دهنده‌گی (۲۷/۸) سه جذب مورد نظر را نواحی  $13430\text{cm}^{-1}$ ،  $13430\text{cm}^{-1}$ ،  $18121\text{cm}^{-1}$  و  $23055\text{cm}^{-1}$  نشان می‌داد. همانگونه که ملاحظه می‌شود با تغییر عدد دهنده‌گی حلال از ۲۹/۸ به ۲۷/۸ جذب مربوط به جهش I از کمپلکس  $\text{VOL}^2$  در حلال دی متیل فرمامید (DMF) مورد بررسی قرار گرفت. عدد دهنده‌گی حلال DMF برابر  $26/6$  بود و به تعداد سه جذب الکترونی در نواحی  $13640\text{cm}^{-1}$ ،  $17500\text{cm}^{-1}$  و  $24600\text{cm}^{-1}$  مشاهده شد که به ترتیب به جهش‌های I، II، III (یا انتقال‌های بار لیگاند) مربوط می‌شد. همانطوری که ملاحظه می‌شود کاهش قدرت کوئردینه شوندگی حلال DMA نسبت به DMSO و  $\text{VOL}^2$  باعث شده است تا سطوح انرژی اوربیتالهای  $d_{yz}$  و  $d_{xz}$  نسبت به DMA و DMSO بالاتر رود و انرژی جهش افزایش یافته و در انرژی‌های بالاتری ظاهر شود. انتقالات  $d_{x^2-y^2}$  که مربوط به  $d_{x^2-y^2}$  می‌باشد روند کاهش انرژی جهش البته بصورت کم مشاهده می‌شود که ناشی از پائین رفتن ترازهای  $d_{x^2-y^2}$  می‌باشد. با حل کردن کمپلکس  $\text{VOL}^2$  در حلال استونیتریل با عدد دهنده‌گی ۱۴/۱ سه جهش در نواحی  $14213\text{cm}^{-1}$ ،  $17421\text{cm}^{-1}$  و  $24509\text{cm}^{-1}$  مشاهده شد که باز مثل موارد اشاره شده قبلی جذب مربوط به جهش I به سمت طول موجهای کمتر و انرژی بیشتر جابجا شده بود. با حل کردن کمپلکس در حلال کلروفرم با عدد دهنده‌گی بسیار پایین دو جهش I و II در ناحیه نزدیک بهم در ناحیه  $16700\text{cm}^{-1}$  مشاهده می‌شد به طوری که دو جهش بصورت یک جهش به نظر می‌آمد. جهش سوم در ناحیه  $24505\text{cm}^{-1}$  مشاهده می‌شد. رنگ محلول کمپلکس در کلروفرم به رنگ سیز روشن بود که در مقایسه با محلول دی متیل‌سولفوکسید و دی متیل فرمامید که به رنگ نارنجی بودند تفاوت زیادی داشت. همانگونه که در شکل ۴ ارایه شده است یک ارتباط خطی بین عدد دهنده‌گی حلال و انرژی‌های جذب I وجود دارد که حاکی از وجود رفتار حلال رنگی در ترکیبات سنتز شده است.



شکل ۳: طیف الکترونی کمپلکس  $\text{VOL}^2$  در حلایهای مختلف، a: دی متیل فرمامید b: تترابنده‌روفوران c: استون (g) استونیتریل e: کلروفرم f: دی متیل سولفوکسید و طیف الکترونی لیگاند (g)



شکل ۴: ارتباط خطی بین عدد دهنگی حلال و عدد موجی

مراجع:

- 1- L. Farmer Richard, F. L. Urbach, Inorg. Chem. 1974, 13, 587.
- 2- M. Tsuchimoto, G. Hoshina, N. Yoshioka, H. Inoue, K. Nakajima, M. Kamishima, M. Kojima and S. Ohba, J. Sol. Stat. Chem. 2000, 153, 915.
- 3- M. Kojima, K. Nakajima, M. Tsuchimoto, P. M. Treichel, S. Kashino, and Y. Yoshikawa, Proc. Jpn. Acad. Ser. 1995, B 71, 175.
- 4- D. W. J. Kwong, O. Y. Chan, R. N. S. Wong, S. M. Musser, | L. Vaca and S. I. Chan, Inorg. Chem. 1997, 36, 1276.
- 5- D. Rehder , Coord. Chem. Rev. 1999, 182, 297.
- 6- J. O. Nriagu, Vanadium in the Environment, Part One : Chemistry and Biochemistry, J. O. Nriagu, Eds; John Wiley & Sons, New York, 1998, Chapter 1.
- 7- D. R. Lide, Handbook of Chemistry and Physics, Ed. 72<sup>nd</sup> Edition, 1991-1992.
- 8- D. Rehder, Angew. Chem. Int. Ed .Engl. 1991, 30, 148.
- 9- H. Vilter, Phytochemistry, 1984, 23, 1387.
- 10- (a) H. Vilter, Met. Ions Biol. Syst. 1995, 31, 325. (b) R. R. Everett, A. Butler, Inorg. Chem. 1989, 28, 395.
- 11- V. Conte, F. DiFuria, S. Moro, J. Mol. Cat. A. 1995, 104, 159.
- 12- D. Rehder, C. Weidemann, A. Duch, W. Priebisch, Inorg. Chem. 1988, 27, 584.
- 13- A. Butler, C. Carrano, J. Coord. Chem. Rev. 1991, 109, 61.
- 14- E. M. Page, Coord. Chem. Rev. 1998, 172, 111.
- 15- J. Emsley, The Elements, Clarendon Press, Oxford, 1989.
- 16- E. tsuchida, K. Yamamoto, K. Oyaizu, N. Iwasaki and Fred C. Anson. Inorg. Chem. 1994, 33, 1056.
- 17- D. Rehder, C. Weidemann, A. Duch, W. Priebisch, Inorg. Chem. 1988, 27, 584.
- 18- J. Malito. Annu. Rep. Prog. Chem. Sect. A. 1999, 95, 117.
- 19- G. MIcera, D. Sanna, Adv, Environ. Sci. Technol. 1998, 30, 131.
- 20- M. E. Welk, A. J. Norquest, C. L. Stern and K. R. Poeppelmeier, Inorg. Chem. 2000, 39, 3946.